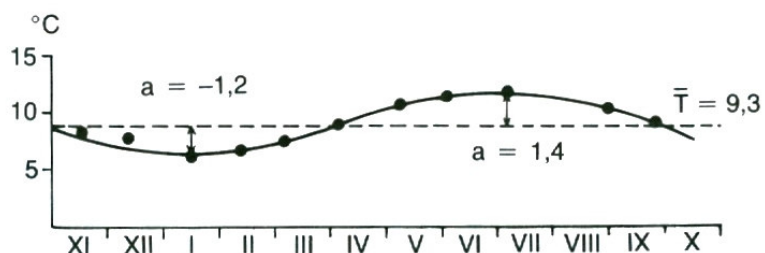
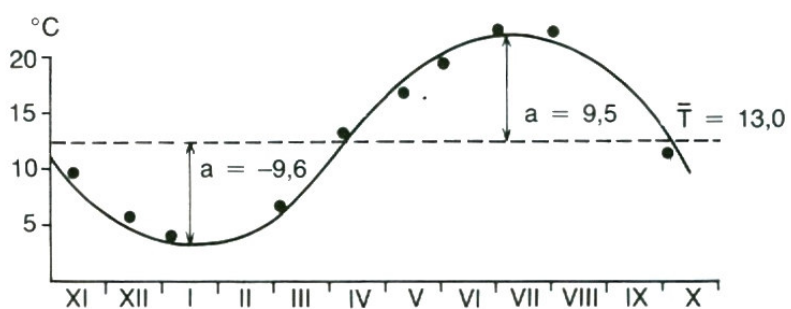


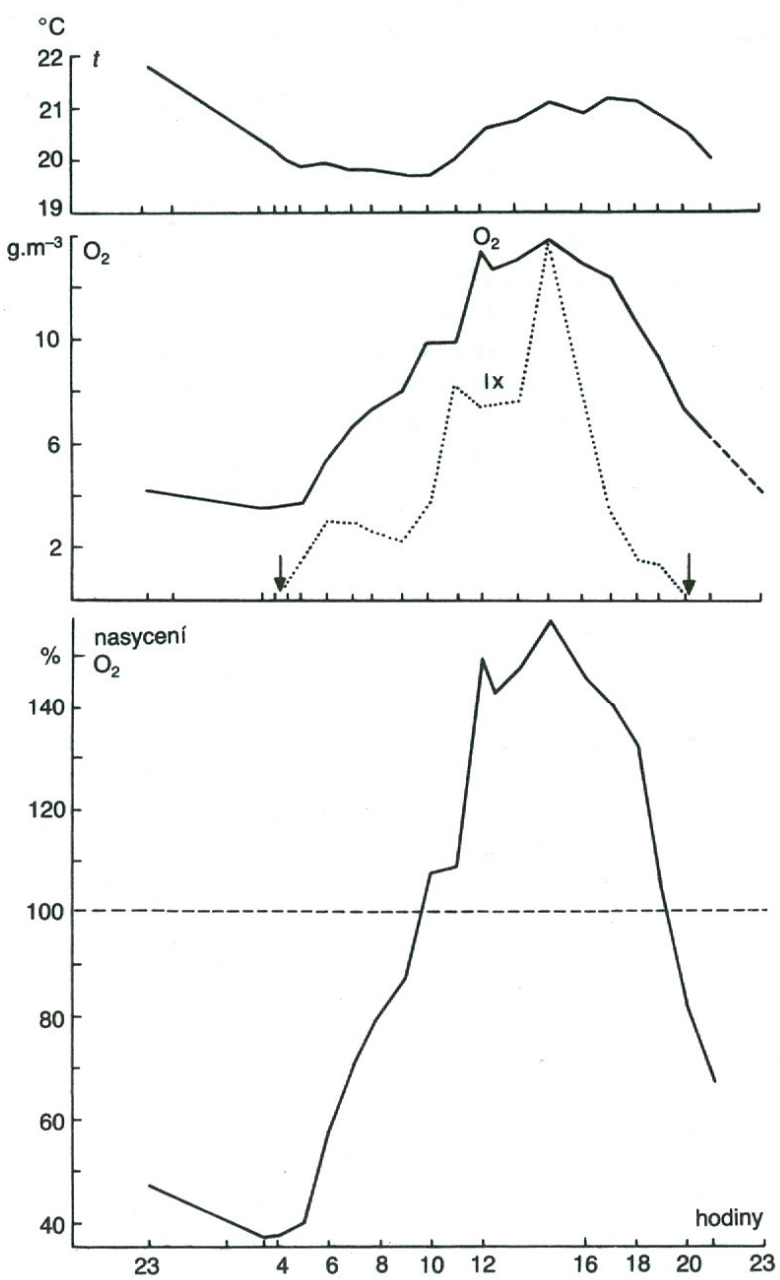
48. Schematické znázornění změn rychlosti proudu, teploty vody a zoocenóz vodního toku od pramene až po ústí do moře (podle ILLIESE)

Zdroj: Losos a kol., 1984



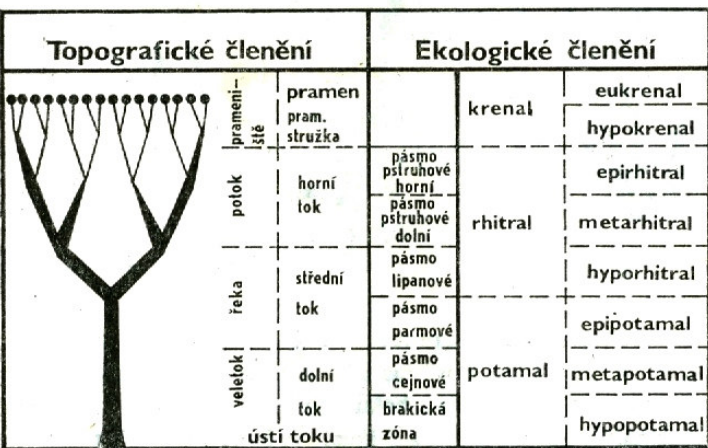
29. Teplotní změny říční vody v průběhu roku na příkladu řeky Moravy na profilu Záhorská Ves (nahoře) a Starohorského krasového potoka na profilu Motyčky (dole) (Horváthová a David, 1969)

Zdroj: Lellák a Kubíček, 1991



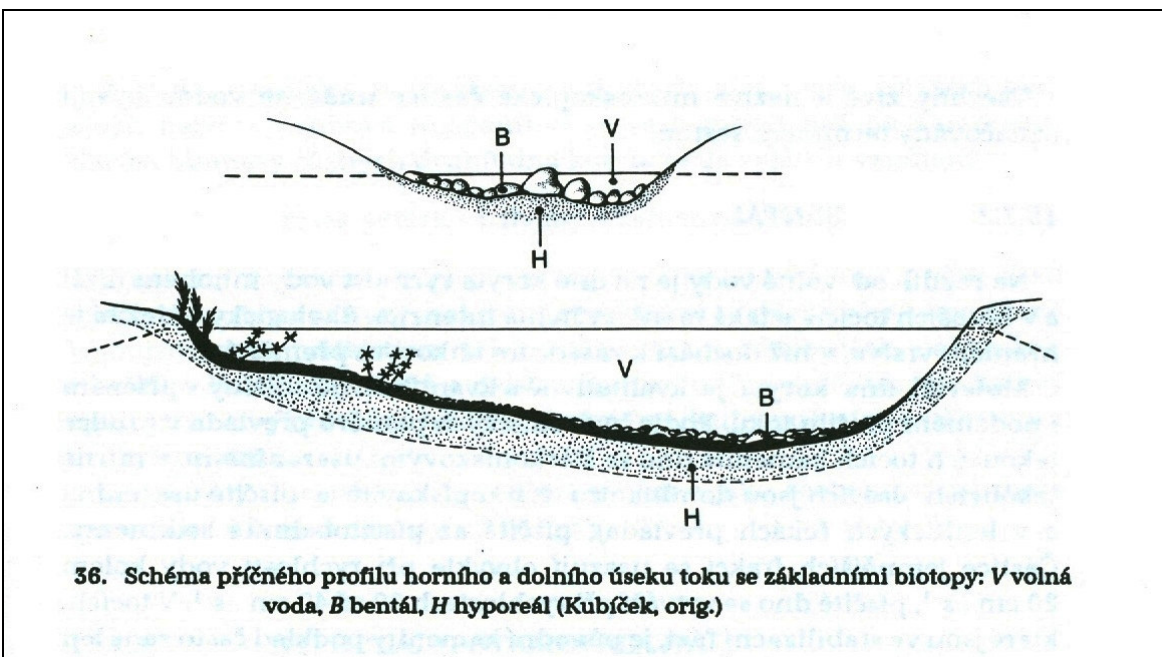
30. Denní průběh teploty, koncentrace kyslíku, jeho nasycení a změny světlé intenzity (lx) v řece Jihlavě (na profilu Hrubšice) s bohatou primární produkcí. Světlá část dne je vymezena šipkami; 14.-15. 7. 1976 (Helan, orig.)

Zdroj: Lellák a Kubíček, 1991



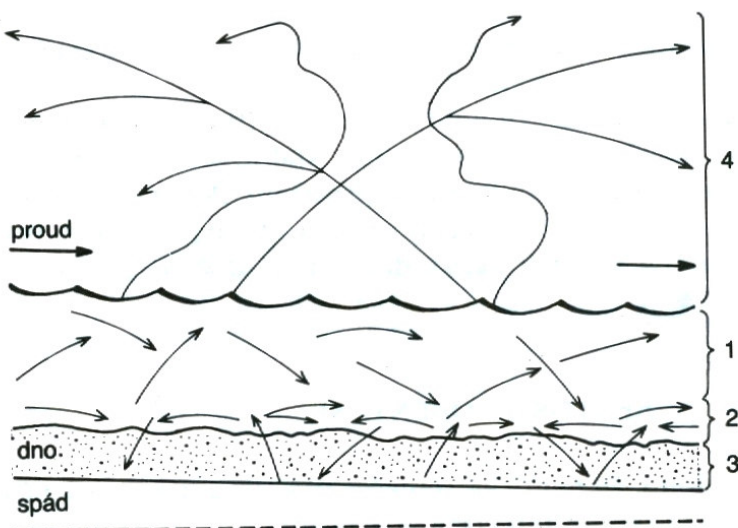
49. Topografické a ekologické členění ekosystému vodního toku (podle SCHWERDTFEGERA)

Zdroj: Losos a kol., 1984



36. Schéma příčného profilu horního a dolního úseku toku se základními biotopy: V volná voda, B bentál, H hyporeál (Kubíček, orig.)

Zdroj: Lellák a Kubíček, 1991



37. Schéma pohybů vodních organismů v rámci osídlovacího koloběhu podle současných znalostí o vztazích v říčním ekosystému: 1 poproudový snos (drift) vodou, 2 poproudové a protiproudové přesuny živočichů po dně, 3 migrace živočichů mezi bentálem a hyporeálem, 4 vzdušná část kolonizace - poproudové, protiproudové a různostranné výlety vodního hmyzu (Kubíček, 1978)

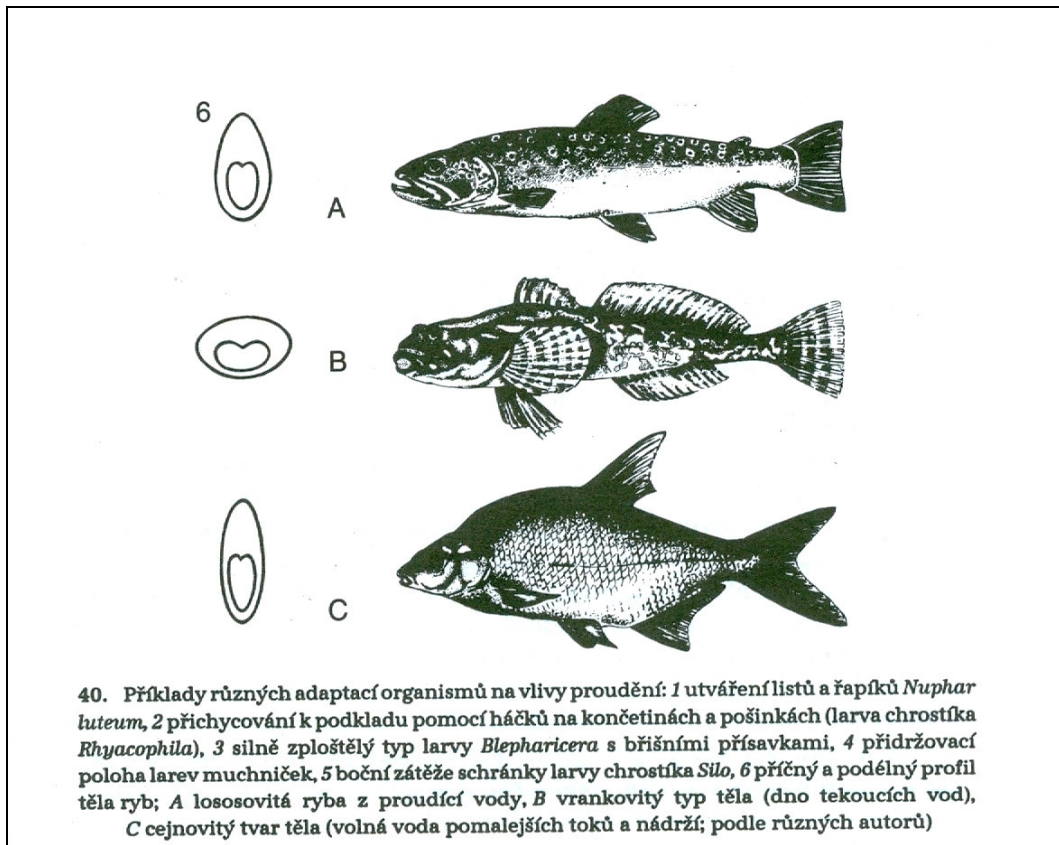
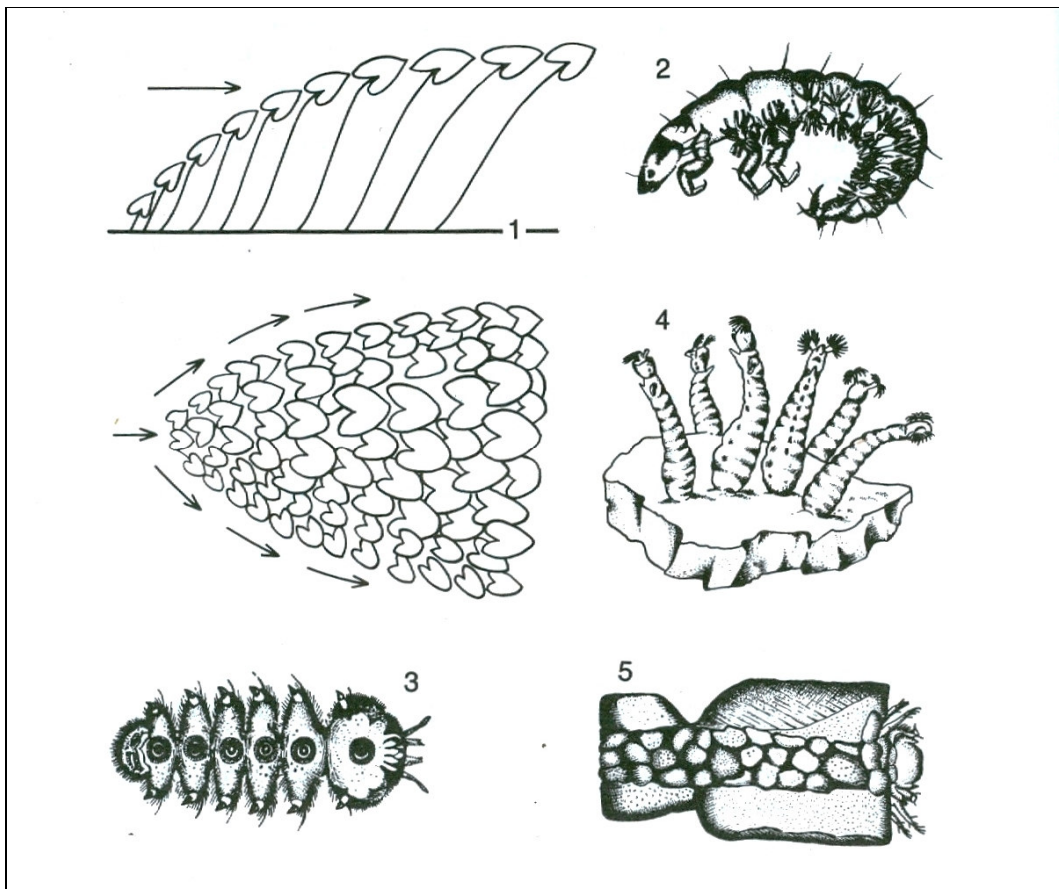
Zdroj: Lellák a Kubíček, 1991

Tabulka 22

Abundance, biomasa a dominance (D) larev vodního hmyzu v zoobentosu potoka (podle ILLIESE)

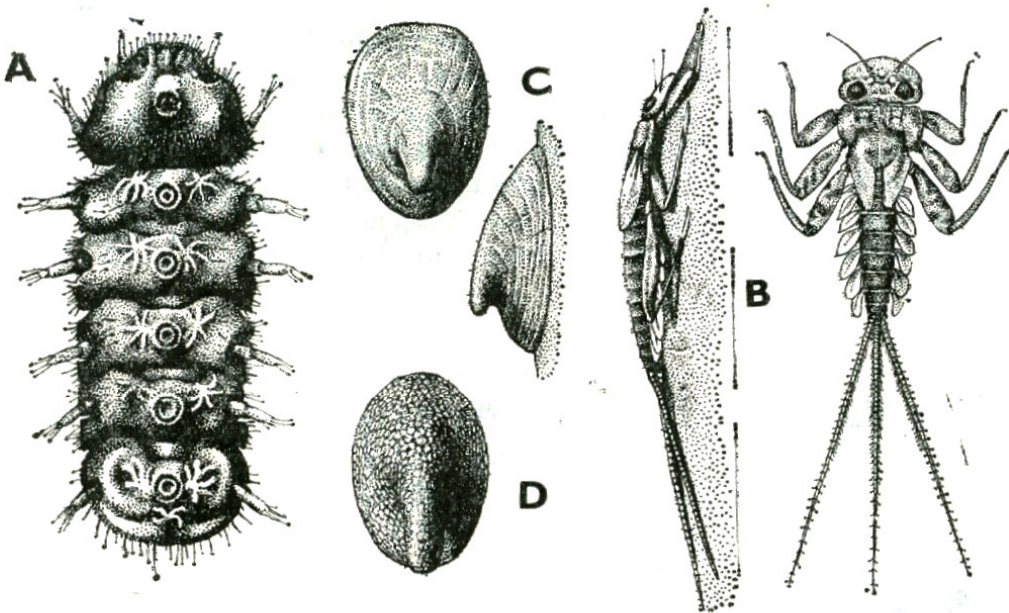
Taxonomická skupina	Abundance		Biomasa (sušina)	
	n	D v %	g	D v %
<i>Chironomidae</i>	23 514	42	3,3	11
<i>Trichoptera</i>	11 703	23	15,3	50
<i>Ephemeroptera</i>	8 548	16	7,4	24
<i>Plecoptera</i>	4 949	10	3,3	11
<i>Simuliidae</i>	1 185	2	0,3	1
<i>Ceratopogonidae</i>	1 066	2	0,1	1
ostatní skupiny	1 035	2	1,1	4

Zdroj: Losos a kol., 1984



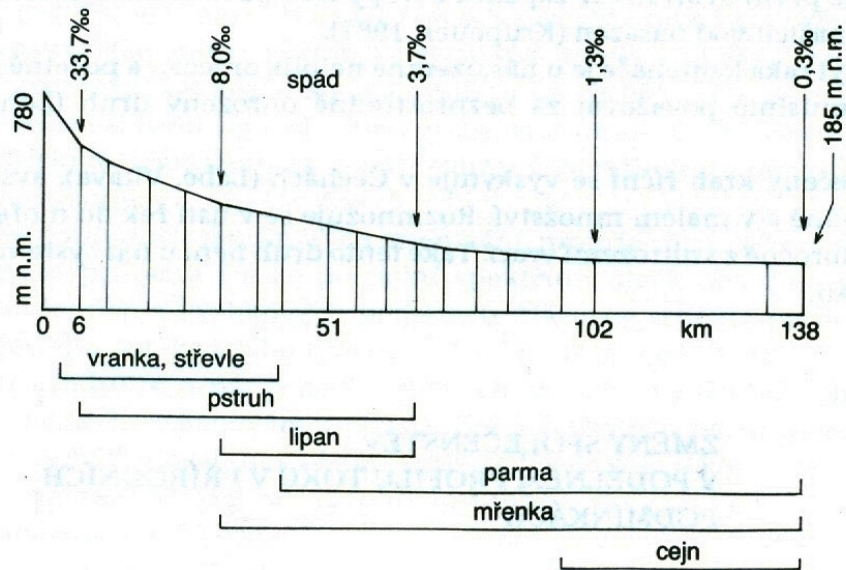
40. Příklady různých adaptací organismů na vlivy proudění: 1 utváření listů a řapíků *Nuphar luteum*, 2 přichycování k podkladu pomocí háčků na končetinách a pošinkách (larva chrostíka *Rhyacophila*), 3 silně zploštělý typ larvy *Blepharicera* s břišními přísavkami, 4 přidržovací poloha larev muchniček, 5 boční zátěže schránky larvy chrostíka *Silo*, 6 příčný a podélný profil těla ryb; A lososovitá ryba z proudící vody, B vránkovitý typ těla (dno tekoucích vod), C cejnovitý tvar těla (volná voda pomalejších toků a nádrží; podle různých autorů)

Zdroj: Lellák a Kubíček, 1991



50. Příklady některých typů tvarových adaptací pro život v proudící vodě: A larva mouchy z čeledi přísalkovitých (*Blephariceridae*, Diptera) se 6 břišními přísavkami, pohled zespodu, velikost 4 až 7,5 mm; B zploštělá larva jepice *Ecdyonurus venosus*, pohled z boku a shora, velikost kolem 15 mm; C ulita kamomila říčního (*Ancylus fluviatilis*), pohled shora a z boku, velikost 7 mm; D terčovitě rozšířená schránka chrostíka rodu *Thremma*, pohled shora, velikost 6,5 mm (podle GEILERA, upraveno)

Zdroj: Losos a kol., 1984



42. Rybí pásmá a překryvání výskytu dominantních druhů ichtyofauny na příkladu polské řeky Raby (Starmach, 1956, upraveno)

Zdroj: Lellák a Kubíček, 1991

Tabuľka 19
Srovnávanie stupňov limnosaprobity s ďalšími charakteristikami (Kubíček a Zelinka, 1982)

Saprobita	Rybí pásma	Třída čistoty vody	BSK ₅ \bar{x} mg . l ⁻¹ O ₂	O ₂ mg · l ⁻¹ průměr	minimum
xenosaprobita	pramenná strúžka + pstruhové	I. a velmi čistá voda vhodná pro veškeré použití	0,60	9,5	8,5
oligosaprobita	pstruhové+ lipanové	I. a dtto	1,60	9,5	8,0
beta-mezosaprobita	parmové + cejnové	I. b dtto	3,10	8,0	5,0
alfa-mezosaprobita	odolné druhý ryb	II. až malo znečistená voda, neodpovídá podmínkám zásobování	6,15	6,0	1,5
		III. znečistená voda, i průmyslové použití vyžaduje úpravu			
polysaprobita	bez ryb	III. až dtto	17,0	3,5	0
		IV. nepřístupně znečištěná voda			

Zdroj: Lellák a Kubíček, 1991